## 硝酸繊維素の膠化並びにダイナマイトの 成形に関する研究(第 ■ 報)

膠化ゲルの彈性的挙動

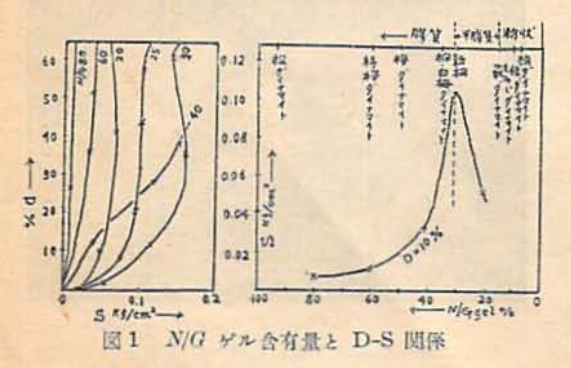
(昭和27年10月21日受理)

桜 井 武 尚・佐 藤 雄 宣 (日本油脂弐豊工場)

#### I 緒 言

ダイナマイトの主体的原料は硝酸繊維素~=トログ リセリンゲルである。之は粘性 105~106 poise, ヤン グ車 104~105 dyn/em2 程度のゲル物質であり、他の 粉状組成物に加えて多量に含有される時は、薬全体に 適度の可塑性と弾性を賦与し膠質ダイナマイトとする 事が出来る。又その含有量を減ずるに従つて半膠質か ら更に粉状ダイナマイトとなり、その爆発性能に依り 各種の用途がある事は言うまでもない。そこで本論に 入る前に=トログリセリンゲルに一定粒度(60~100 me)の硝酸アンモンを混合担和した時、その性状が如 何様に変化するかしらべ、(胜1)膠質、半膠質、粉状 ダイナマイトのゲル含有量を現在制定の各種ダイナマ イトと対比して見る。

図1は N/C4% ゲルに上記硝安を捏和した時の薬の D-S 曲線である。曲線が D 軸に近く直立するは柔軟 な事を意味して居るが、ゲル含有量減少し薬が膠質の 性状を離れてもろくなると、或る点から急激な歪の増 大即も崩壊が起り機械的に弱く粉状物の性状を呈する



(註1) 此の研究群しくは後報。

様になる(右図)。一方現在のダイナマイトの N/G 含有量と比べ N/G ゲルの成形剤としての性能やその限界のあらましが分るであろうし又後述の実験結果からゲルはダイナマイトの成形剤として緩和時間の大小に応する n (poise) の値もさる事ながら、その構造性に起因する彈性的挙動もかなりあづかつて力ある事が分るだろう。

一般に我々が日常接する物質の中所謂膠質物と称せられるものはかなり多くそれらの力学的性質は低分子性溶液や金属等の如く簡単には決定出来ず、non-ideal な性質を示すものである。その流動や変形は異状粘性又は構造粘性の名のもとに種々の挙動を行い、水や油の様にその流動の力と効果は簡単に律せられないものである。

此の膠質物の異状な力学的性質を固体としての弾性 と液体の粘性とに分けその重整によって理解しようと したのは Maxwell を最初とする。そして此の様な考 えを基にした粘弾性 (visco-elastic properties) の研 究は Eyring 一派<sup>1)</sup>を始め多くの実験研究がある<sup>2)</sup>。

#### Ⅱ 実験方法論

実験結果の記述に先立ち、此の問題について今まで どんな方法でのぞんで来たか、又その理由、更により 本質的に追求する手段として如何なる方法があるかし らべる事にする。

#### 1. 従來の方法

此の研究は主風をあくまで危険な現場製造面におく ため測定具は構成部品なるべく少く最も簡単な構造で 安全を確定し得る意味で一つの簡便な粘度計を考えた が、実験量では同様の機構をより精密にした第11載の の形を採つた。此の装置によつて硝酸繊維素がニトロ グリセリンに分散溶解する過型中次第に異状性が現れて来るの事は先の研究で報告した通りであつたが、若しゃルの力学的性質が純Newton流動のそれであり、粘度計の球速度が抵抗に比例するなら、粘度πの算出には一種の分類で足り、又球速度~球の受ける抵抗の両対数グラフは45度の預斜を持つ直線となる。即ち此の場合異状は最も端的に此の直線の預斜として現れるのである。(註2) 定つて此の方法は一応異状性そのものに注意はしているが、その異状性が発現するに至る。彈性そのものの解析は全く行つて居ない。此の様な方法でも何とか膠化の速度的吟味には耐え得るが、

尚本質的にその補造性にまでさかのぼる方法がなけ ればならない。

#### 2. 他の種々な測定手段

膠質物の異状性を固液の二面性の重りとして理解する時、我々は先ず弱い弾性の測定にせまられる。此の
弾性の測定法は次の様なものがある。

- (1) Phillipoff の振動粘度法の
- (2) Duclaux-Hirata の方法つ
- (3) Ferry の方法の
- (4) Ewing 法
- (5) Schwedoff の方法の等

- (a) Schwedoff 及び Hatschek 等の方法
- (b) 久山氏の解析法15)
- (c) 中川氏による共振法<sup>10</sup>
- (d) 中川氏による位相整法

此の実験では Schwedoff の装置を用いる。 又上記 (b)以下も試みたが(a)法が最も基本的なものである から主として此の方法に依る事にした。

#### 3. Schwedoff 等の解析法

今図の様な立方体に θ なるズリ変形を与えられば Hooke の法則は次の関係を示す。

$$K = G\theta$$

(註2) 之は Ostwald の n 柔則として理解されるが。

K はその時の張力で G はボリの弾性率である。 今 外半径  $r_0$  及び内半径  $r_1$  なる二つの円筒の間に深さん だけ試料がひたつていたとする。又此の針金上端を  $\rho$ radian だけひねつたため内筒の変角が  $\rho$  radian で 試料の弾性と場合つて止るとする。此の時襲力  $\rho$  と ボリの角  $\rho$  の間には

$$K = k(\varphi - \omega)/2\pi h r_0^2 = k \delta/2\pi h r_0^2$$
  
 $\theta = 2r_1^2 \omega/r_1^2 - r_0^2$   
 $G = K(\varphi - \omega) \left(\frac{1}{r_0^2} - 1/r_1^2\right)/4\pi h \omega$ 

なる関係がある。但内簡整面に於いて。

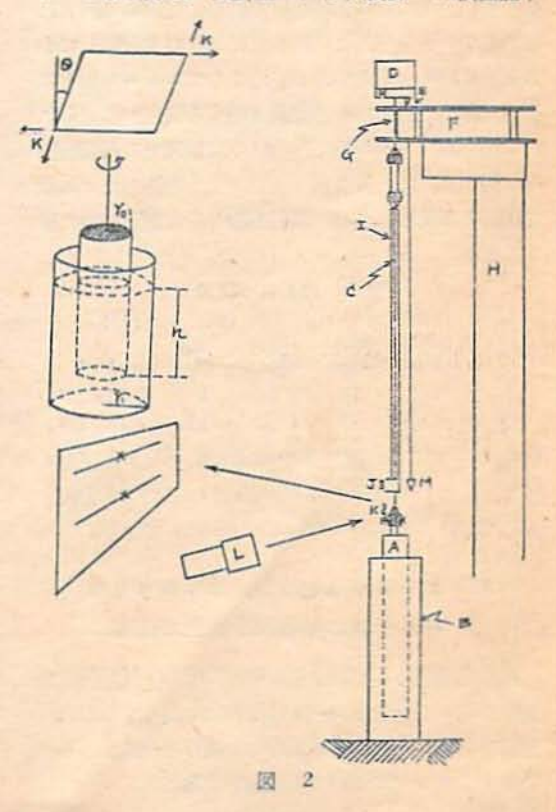
次に弾性に重る結性流動のため此の弾性平衡点は徐 々に移動し、今内筒が粘度η(poise)の流体中で角速 度Ωで回転しているものとすれば針金に加えられる回 転能率 M は

$$M = 4\pi h \eta \Omega r_0^4 r_1^2 / (r_1^2 - r_0^2) = K_0 \eta \Omega$$
 $\mathcal{Z}$ 
 $M = k \delta, (\delta = \varphi - \omega), \Omega = -(d\delta/dt) t_2^* \delta dt$ 
 $k \delta = -K_0 \eta (d\delta/dt)$ 
 $\Omega = \frac{1}{2\pi \hbar} \frac{K_0 = 4\pi h (r_0^2 \neq r_1^2)}{(r_1^2 - r_0^2)}$ 

之を解き

 $\eta = kt/k_c \eta \ln(a_0/at)$ 

即ち或る時刻の δ<sub>0</sub> とそれから或る時間たつた δ<sub>t</sub> か ら nを求め得る。 又針金のよじり常数 b は慣性能率



が簡単に計算出来る形と重さの鍵を吊しよじり回転の 自由振動週期 T を実測して求めれば良い。

#### $T = 2\pi (I/k)^{\frac{1}{2}}$

b が定まれば同様にして内筒の慣性能率を求め得る。 b は針金に 1 radian のよじりを起すに必要な偶力と 理解する。

#### Ⅲ 実験装置の説明

装置の概念は先の方法論に明かな様に針金と内筒、外筒、針金上端と内筒の変角を見るための小さな二つの競及びランプスケールの三つの要素から成つている。即ち A は内筒でそのまわりに外筒 B があり(此の間に試料をみたす)四つ割チャックで上方の針金O に吊られ、針金上端は時計の歯車の軸を利用した垂直軸に矢張り四つ割チャックで連結される。F は時計の母体そのものを利用したもので G はその一つの軸である。 G 釉は更に上方に連結され適当な重み D と針 E によつて ひねられた角度が変化しない様に保たれる。これらの全体は柱 H によつて保持する。

次に針金上端及び内筒の変角を実測するために第二の系統がある。即ち一つのランプスケールで針金上端と内筒の変角を同時に測れる様に、ガラス管 I が針金を中に通してその上端を中の針金に固定して吊されそのガラス管の下端と内筒の上端にきびすを接して小さな鏡J、Kを取りつける。かくしてスケール板上に同時に針金上端と内筒の変角に応ずる光点が投ぎられる。内外筒はガラス製で内筒は中に散彈を入れ慣性能率を適当にして、4つ割チャックをうめ込んだゴム栓で閉ぢる。大型、小型の両種を作りその諸元は次の様にした。

			表1	内外筒の調	<b></b> 表元	
		内	筒	91	筒	内筒I
	3	外小程 cm	高き cm	內半 径	高さ	g. cm <sup>2</sup>
小	型	0.9	14	2.0	16	$1.26 \times 10^{2}$
大	型	1.9	17	2.8	12	$4.42 \times 10^{3}$
針金	t長	ë 45c1	n 直径	0.3~1.2	mm ø	ピアノ線を4
種用類	意し	た。そ	のとは	2.65×10	g. cm <sup>2</sup>	の四角鉛板を
吊して	て定	b 9.5	× 10°~	3.3×10 <sup>4</sup> dy	n. em	である。

### 

硝酸繊維素は前に続き使用する (N/CI) 又前実験の 知見からニトログリコールの混和性を良くするために 強綿を等量にあらかじめ混合した條件を一にする為ニ トログリセリンについても混綿を使用した。 実験の便と試料の場一を計り同一諸元の外筒を多数準備し之に混和後の各濃度の液を入れ、60°Cで一時間膨化後一日以上放置したものを30°Cに於いて測定する。此の外筒に内筒を装置し針金上端をひねりそれに対する内筒の光点の変化を手早く読取り、0及びKを求める。求めた K~8 図は直線でその預割が G となるが、手早く求めないと純粹の彈性変形以外に粘性流動が入つて来る。今N/C0.5%のニトゲリセリンゲルについて測定の時間を変えて実験すれば図7の如く時間と共に粘性流動が入り G の値は小さく出る様になる事が分る。以後上端をひれてから3秒後の値から0、Kを求める事にした。各濃度で求めた0~K 線はいずれもかなり良好な直線性があり G は表2に示す。

表 2 各濃度ゲルの カ, G1, G2 測定値(30°C)

		77	$G_1$	$G_2$
	N/C%	(Poise)	(dyn/em2)	(dyn/cm <sup>2</sup> )
	(4.0	4.92×106	$1.88 \times 10^{4}$	3.71×10°
	3.0	$1.08 \times 10^{6}$	$6.30 \times 10^{3}$	5.48×10 <sup>2</sup>
# 1 11	2.0	$2.32\times10^{5}$	$2.50 \times 10^{3}$	$2.82 \times 10$
グリセリ	1.5	$1.10\times10^5$	$1.34 \times 10^{8}$	$2.30 \times 10$
2	1.0	2.36×104	2.01×10°	0
	0.5	$2.08 \times 10^{3}$	$2.00 \times 10$	0
	0.375	1.11×10°	5.7	0
	(4.0	$2.88 \times 10^6$	1.28×104	$1.91 \times 10^{2}$
	3.0	$7.01\times10^5$	$5.90 \times 10^{0}$	$1.65 \times 10^{2}$
= 1 0	2.0	$2.16\times10^5$	2.21×10°	0
グリコー	1.5	7.02×104	$1.10 \times 10^{3}$	0
R	1.0	$1.17\times10^4$	$1.99 \times 10^{2}$	0
	0.5	$3.28 \times 10^{2}$	$1.39 \times 10$	0
	0.375	$7.43 \times 10$	5.0	0

この様にして求めた彈性率 G の値はニトログリコールに於いてはやや小さい値を示している。その濃度と G の関係はある濃度から急に頭下りとなる。その曲折点はゲル化点即ちゲルがゲルとしての構造性をあらわし始める点と考えられる。今この点をより定量的に考察するために濃度の方も対数で表示せば図8となる。此の時濃度の方すい場合の急な部分と濃い場合のよりなだらかな部分と二つの直線で示され、その折点がゲル化点である。ニトログリセリンとニトログリコール共大差はないがグリコールはキュ下に位する結果ゲル化点は、

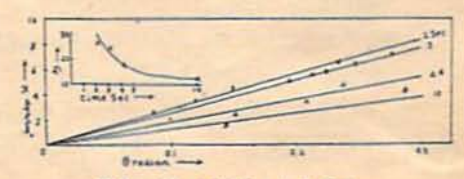


図3 G の時間による低下

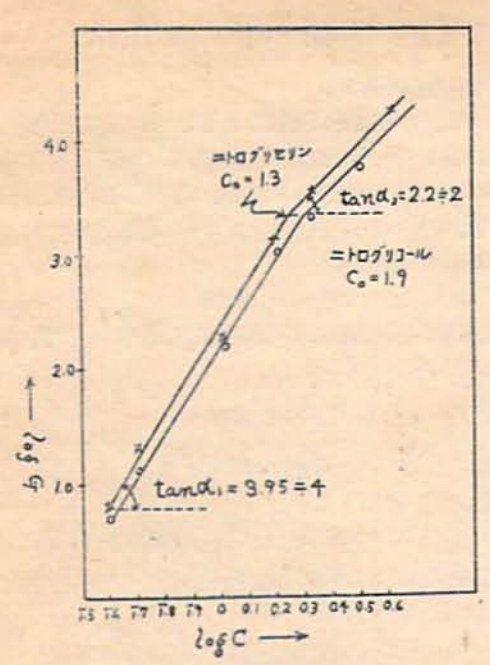


図4 C/C 撤废と G の関係

ニトログリセリン 1.3% 約 1% ニトログリコール 1.9% 約 2%

である事が分る。即ちゲル化して構造性を持つために はゲルの組織に於いてマクロブラウン運動はある程度 禁止されなければならない。=トログリコールは=ト ログリセリンに比べ低分子低粘度であるからゲル化す るにはそれだけより濃度大なる硝酸繊維素を含まなけ ればならない事は容易にうなづけよう。

更に誠に興味ある事は低濃度部の傾斜は

3.95 ap4

又高濃度部の傾斜はその 55で,

2.2-2 である事である。

一方 Flory の のサル弾性理論はゲル化点以下の低 濃度部分に於いて E は濃度の 4 薬に比例し高濃度部 に於いては2 薬に比例するとしている。又平井氏の寒 天, ゼラチン、澱粉等の実験も此の理論を支持して居 たがい我々の実験結果も同様である。従つて硝酸繊維 素~=トログリセリン(又は=トログリコール)ゲルも その弾性的挙動は本質的に通常のゲル状態質物と大差 なく取りたてて異つたものではない事が分る。此の点 は更に大節の禁彈性の解析に於いてより明確な概念が 得られるであろう。

G はボアッン比を 0.5 とすればヤンダ率 E との間 に極めて簡単な関係がある。

E=3G

又 E は通常の固体、銅、アルミ、鋼、セルローズ 等は  $10^{10}\sim10^{12}$  dyn/cm<sup>2</sup>、ゴムに於いては  $10^6\sim10^7$  で ある事を思えば 4%=トログリセリンゲルのそれが大 体  $10^4\sim10^5$  にある事は先ず妥当な値であろう。

次に粘度は同一濃度では皆=トログリコールゲルは 小さい。通常成形に用いる C/C 3~4% ゲルは 106~ 107 poise である。濃度との関係を図4に示す。

街ピアノ線で最も太いもの(径1.17 ミリ)でも 3,4% ゲルに対してはや中弱い感があつた。

#### V ゲルの力学的模型の決定

#### (1)模型の推定

膠質物の異状な力学的性質を液体としての純粘性流動,固体としての純細性変形の二つの組合せで理解し その挙動を設明するに足る力学模型のいくつかが提起されている。最も簡単な型は粘性のビストンと弾性のバネを直結に結んだ図5の Maxwell型(a) 又それが並列となつた Voigt型(b) 更に複雑となつた(c) 等がある。そじて時刻なに於いて一定の張力 K を加え始め、なで除去する時物体の変形をは図の様な動作をする。 我々の実験はな以後の8の変化を観察して居るがその図と図のな以後の8~は図とを比べてゲルが如何なる型であるかを推定する事が出来る。

例えばニトログリセリンゲル (C/C0.375%) に就いて言えば針金上端のひねりを止めた瞬間からきわめて短時間5分以内に5か回復し、その一定の高さを残して安定する。即ち全く Maxwell の型である。此時流動変形のない様な手早い測定から G<sub>1</sub> をそれに続く初期の流動からすを直接求め得る。又高濃度 (4%) にあつては5 は仲々安定せずきわめて長い流動が続き約一時間の後始めて安定する。むしろ (C) の型である。即ち硝酸繊維素~ニトログリセリンゲルは低濃度に於いては直結型の高濃度では更にピストンに並列にバネが入つた型であると推定される。

(2) 高温度ゲルの力学模型の三つの要素の決定10 模型の型が 8~1 図から推定された時、それらの構 被要素を如何にして定めるべきか。低濃度ゲルについ ては直結型であるから簡単であるが高濃度ゲルではや や複雑である。N/C4% =トログリセリンゲルについ て例示するに、先ず手早く粘性強動を避けた測定から 弾性率 G 1.88×10<sup>1</sup> dyn/cm<sup>2</sup> を求め、それにひきつ づきとなり合つた時間に於ける 8 を測定する事により n=4.92×10<sup>6</sup> poise を求めた。此の n は時間と共に増 大するが流動の最初期の値であるから近似的に模型の 一つとして採用して良いであるう。 又求めた G はこの模型の中では  $G_1$  に当るものである。変形回復に最も最初にあずかるものは  $G_1$  であるからである。ビストンに並列に入つた  $G_2$  は図5を見て感ぜられる様により時間の弾性回復にあずかるものであり、今無限時間後の全弾性変形  $\delta_2$  に対する系全体としての見かけの弾性係数を  $G_2$  とする。

即も図6右に於いて

$$\delta_1 + \delta_2 = \delta_3$$

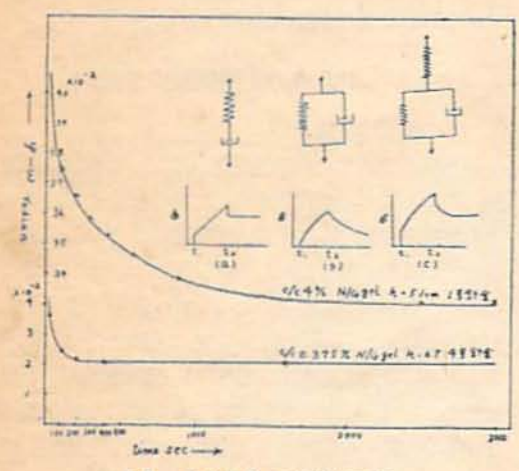


図5 内筒変角の時間的同復

$$K/\delta_1 = G_1$$
  $K/\delta_2 = G_2$   $K/\delta_3 = G_3$   
 $1/G_1 + 1/G_2 = 1/G_3$  であるから  
 $G_2 = -\frac{G_1 \times G_3}{G_1 - G_3}$ 

即も無限時間後の δ=(φ-ω) の実測値から前の式

$$G = \frac{k}{4\pi h} \left( \frac{1}{r_0^2} - \frac{1}{r_1^2} \right) \frac{\varphi - \omega}{\omega}$$

に依つて Go を求めれば Go を求め得る。

今 N/C 4% =トログリセリンゲルについて求めれば

$$G_3 = 3.1 \times 10^3$$

従って

$$G_2 = \frac{1.88 \times 10^4 \times 3.1 \times 10^3}{1.88 \times 10^4 - 3.1 \times 10^3} = 3.71 \times 10^3$$

を得る。かくして此の力学模型は次の如く決定され た。

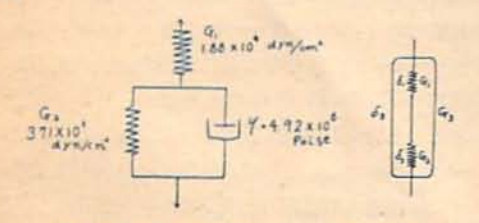


図 6 C/C 4% N/G ゲルの力学模型

#### VI N/G, N/g ゲルの熱彈性

#### 1. 変形の熱力学

弾性の熱的変化は弾性の本質について貴重な資料を与える。今一つの立方体を変形させズリ張力 K のもとに#のズリを生ぜしめる。此の時の自由エネルギー、内部エネルギー、エンメロトビーの滑加を夫々 JF、JU、 JS とする。

$$dF = dU - TdS$$
 (1)

又変形が等温的なら aF は外部から為された仕事に等 しく

は
$$F = \int_{\theta}^{\theta} K d\theta$$
  
関ち  $K = (\partial \omega F / \partial \theta)_T$  (2)  
従って (1)(2) より

 $K = (\partial \mathcal{L}U/\partial \theta)_T - T(\partial \mathcal{L}S/\partial \theta)_T \qquad (3)$ 

更に(2)より  $(\partial K/\partial T)_{\theta}=\partial^2 JF/\partial\theta\partial T=-(\partial JS/\partial\theta)_T$  なる事より(3)に従って

$$K = (\partial \Delta U/\partial \theta)_T + T(\partial K/\partial T)_\theta \tag{4}$$

となる。一方種々の物質について行われた多くの研究 の結果弾性の本質について二つの理想化が行われて居 る。

- 1) エネルギー彈性
- 2) エントロピー彈性

エネルギー弾性とは外から為された変形の仕事は全部 内部エネルギーとして系内に蓄えられ、その結果分子 間ボテンシャルが高い状態となる為の弾性発現を言い 岩温、鉄等の弾性はこうしたものの一例である。之を 前式(4)について言えば第2項は殆んど零で弾性力は Uの滑加に起因する。

又エントロビー弾性とはもつばら変形のためエントロビーの減少に由来するもの、言わば非常に不規則で 複雑に折りたたまれたものが引きのばす事によつてより規則的な排列となる所謂ゴムの如きものがその1例である。構造がより確率の小さな状態へ移り変る弾性で内部エネルギーは変化し得ないからそれは替来外に熱となつて出てしまう。ゴムを唇に当て强く引きのばすと急激に熱くなるのが分る。(4)式では第1項が零となる。

徒つて此の二者は  $K \ge T$  との関係で相反する性質を示しゴムの如きものは適当な條件では温度に比例するが、岩塩の様なものでは温度と共にむしろ低下する。依て実験値を各 $\theta$ に対しての  $K \ge T$  との図に表した時、(4)式よりしてある温度 T に於ける K 軸載片は内部エネルギーの滑大量を示し、又曲線の切線の

傾斜は、符号を考えてエントロビーの減少又は増大量を示すことになる。(3)(4)よりこの傾斜  $\tan \alpha$  が正なら減少を負なら増大を示す。故に各温度について K 及び  $\theta$  を測定すればゲルの弾性が何に由来するかを定める事が出来る。

#### 2. 実 験

以上の論説に従って N/G, N/g ゲルについて各温度 の G を求めれば次の通りである (G を求めるにはい くつかの K に応する # を求めてある)

表3 各温度に於ける G dyn/em²

C/C 3%

 $\begin{array}{llll} T^{\circ}K & N/G & N/g \\ 303 & 6.39 \times 10^{8} (6.30 \times 10^{3})^{*} & 5.95 \times 10^{3} (5.90 \times 10^{5})^{**} \\ 313 & 5.60 \times 10^{8} (5.72 \times 10^{3})^{*} & 5.10 \times 10^{3} \\ 323 & 5.10 \times 10^{8} (4.90 \times 10^{3})^{*} & 4.50 \times 10^{3} \\ 333 & 4.54 \times 10^{3} & 3.58 \times 10^{5} \\ & & & & & & & \\ \end{array}$ 

 $\begin{cases} 303 & 2.52 \times 10^{0} (3.97 \times 10^{0})^{**} & 1.95 \times 10^{0} (2.20 \times 10^{0})^{**} \\ 313 & 1.80 \times 10^{0} & 1.51 \times 10^{0} \\ 323 & 1.29 \times 10^{3} & 1.20 \times 10^{3} \\ 333 & 0.93 \times 10^{4} & 0.89 \times 10^{3} \end{cases}$ 

温度は恒温槽によってゲル温度一定とする。実験は 低温の方から測定して行った。\* は測定後逆に高→低 温の順に測定したものである。\*\*は前に同一の條件で 測定した値である。Gはいずれも温度の上昇と共に低 下し、C/C 3% N/G ゲルについて解析例を示す。図7 ( $\alpha$ )は実験で求めた  $K\sim\theta$  図で、此の図より各 $\theta$  の値 に対して温度 T と K の関係が分る。( $\alpha$ )

今或る温度に於いて K 軸に平行線を引いた時曲線と変るその高さはその温度,その#に対する内部エネルギーの増加量を示す。又変点に於ける曲線の傾斜は此の場合明かに負であり前の論設に依つてエントロピーは増大する事を示して居る。即ち一見ゴム塊の如く見える硝酸繊維素~=トログリセリン、ニトログリコールゲルはゴムとは全く異つてむしろエネルギー弾性を起すものである。図(5)(b)を見ても明かな様に変形に際してこの内部エネルギー,エントロピー変化共変形の程度と温度によつて程度を異にするが、今
T=303°K,#=0.2 radianの時の変化量を示しておく。

表4 ゲルの変形に於ける内部エネルギ - 及びエントロピー変化

N/G FR N/g FR

AU

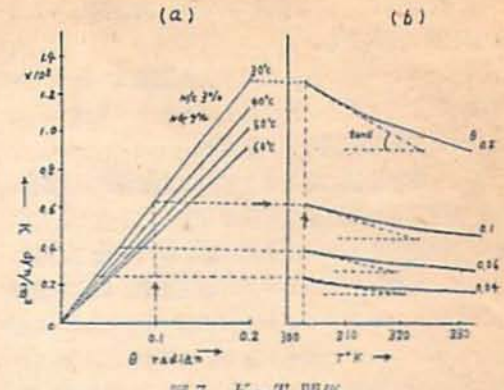
(kcal) (kcal/deg) AU

AS

C/C 3.01 × 10<sup>-8</sup> 3.75 × 10<sup>-10</sup> 2.84 × 10<sup>-8</sup> 3.66 × 10<sup>-10</sup>

3.01 × 10<sup>-8</sup> 3.75 × 10<sup>-10</sup> 2.84 × 10<sup>-8</sup> 3.66 × 10<sup>-10</sup> 2.95 1.20 × 10<sup>-8</sup> 3.35 × 10<sup>-10</sup> 8.84 × 10<sup>-9</sup> 2.31 × 10<sup>-10</sup>

即ち濃度は小となれば、内部エネルギーもエントロビーも小である。又 N/g は濃度に依る差が N/G よ





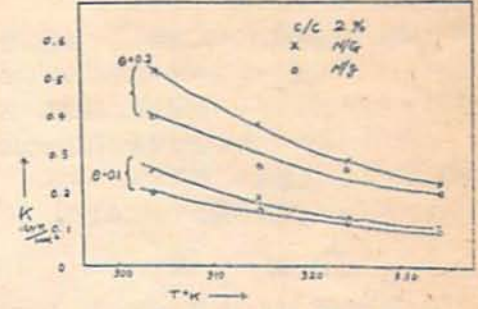


図8 N/G 2% ゲルの K~T 関係

りも大である。

以上の実験から硝酸繊維素ゲルはかなり規則的構造であると言える。変形時のエントロピーの滑加は今の 処定量的に論ずるより所を持たないが、当然変形に依 る構造の乱れを物語るものであろう。例えば濃度がう すく従つて構造性もより少ければ相対的な乱ればより 少いであろう。或いは N/G ゲルの C/C 2~3% 間の 変化に比し N/g のそれが大である事は N/g ゲル 2% は N/G ゲル 2% に比しきわめて構造性に乏しい事を 示すと言え、この点は前の力学模型よりしても妥当で あると思う。

此の弾性の差異、従つて構造性の差異はダイナマイトの成形剤として大いに影響する事が想像される。

#### WI 実験結果の整理

- (1) =トログリセリンゲルと耐安について、その 量的変化に応ずるD-S曲線と制定各ダイナマイトの= トログリセリン含有量と対比し、膠質ダイナマイトに 於ける=トログリセリンゲル含有量の限界を求めた。
- (2) 弾性率測定方法を類別しその簡単な紹介を行 つた。
- (3) 各濃度の硝酸繊維素~=トログリセリン、= トログルコールゲルについて弾性率及び粘度を測定し

た。低濃度部では G は濃度の 4 薬に高温度部では濃度の 2 薬に比例する。

- (4) ニトログリコールのゲル化濃度はニトログリ セリンより大である。逆に言えばニトログリセリンは より少い硝酸繊維素でゲル化する。
- (5) 実験結果にもとずきゲルの力学模型を推定した。低濃度部では直結型と見なし得。高濃度となるに 従つて粘性的ビストンに並列に更にバネを生じ、為に 二つのバネ及び一つのビストンの三要薬から成る模型 となる。ニトログリセリンは 1.5% C/C でかかる型 となるがニトログリコールは3%である。又ビストン に並列のバネは弱くニトログリコールゲルの特異な曳 糸性等を暗示している。
- (6) 弾性の温度変化について実験しその結果硝酸 繊維素ゲルはゴムの如くエントロビー弾性に非ずして 変形により先ず内部エネルギーが滑大し二義的にエト ロビーも滑大する事を知つた。従つてその構造性は比 較的規則的である事を推論し、併せてニトログリセリ ン、ニトログリコールゲルの差について論じた。

#### IIX 文献

- A. Tobolsky and H. Eyring, J. Chem. Phys., 11 125 (1943)
- (2) T. Alfrey and P. Doty, J.App. Phys., 16 700

- (1945) J. R. Van Wazer and H. Goldberg, J. App. Phys., 18 207 (1947)
- (3)(4) 桜井武尚, 火協誌 11 105 (昭 25)
- (5) Wo. Ostwald, Koll. Z., <u>36</u> 99 (1925); <u>47</u> 176 (1929)
- (6) W Philipoff and K. Hess., Z. Physik, Chem. B 31 240 (1936)
- (7) Diclaux and Hirata., J. Chem. Phys 29 280 (1932)
- (8) J. D. Ferry., J. Am. Chem. Soc. <u>71</u> 622 (1949)
- (9) Schwedoff., J. de Phys. [2] 8 341 (1889)
- (10) E. Hatschek Koll. Z., 39 300 (1926)
- (11) 中川鶴太郎, 日化 72 390 (昭 26) 72 759 (昭 26)
- (12) 久山多美男, 科学 16 149 (1946)
- (13) 中川鶴太郎, 日化 72 759 (昭 26) 中川鶴太郎, 科学 20 327,469 (1950)
- (14) P. J. Flory, Chem. Rev. 35 51 (1944)
- (15) 平井西央, 日化 72 837 (昭 26)
- (16) R. Houwink, Elasticity, Plasticity and Structure of Matter p. 64

G2 の測定法は(11)参照

# On gelatinization of nitrocellulose by nitroglycerin (II) by T. Sakurai and Y. Satō

Gel is a form of matter having both solid and liquid properties. We shall consider its quasi-viscous behaviour as a emplex of elasticity and viscosity.

As the result of measurements of elasticity modulus E and viscosity  $\eta$  of N/G-gel by Schwedoff's method, E was found to be  $10^4 \sim 10^5$  dyne/cm<sup>2</sup> and  $\eta$  was  $10^5 \sim 10^6$  poise.

When the concentration of N/C is dilute, the basic type of coupling is in series, but when N/C is rich it consists of two elastic springs and one viscous element.

Further we find that the deformation of N/G-gel brings an increase in entropy since its systematic structure is disturbed by stress.

(Nihon Oil and Fats Co., Ltd, Taketoyo Factory)